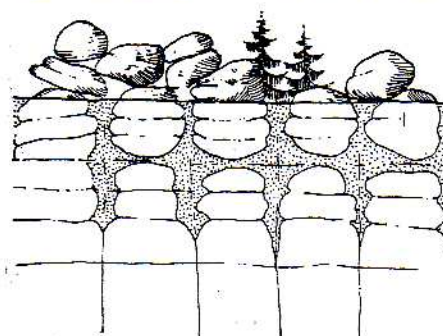




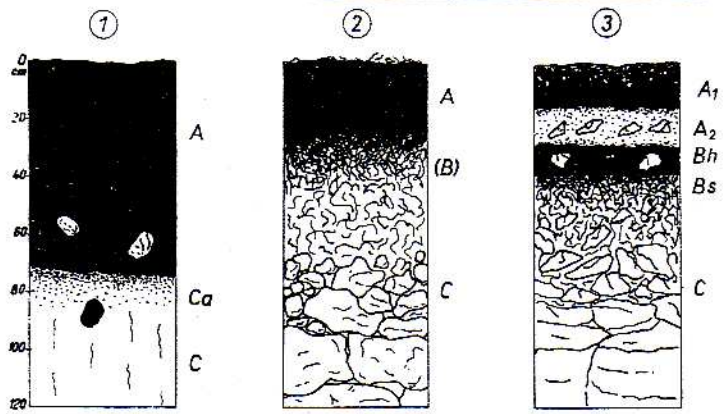
Obr. 107. Balvanité zvětrávání prekambriických žul
Elephant Rocks u Graniteville, Missouri (foto Q. Záruba)



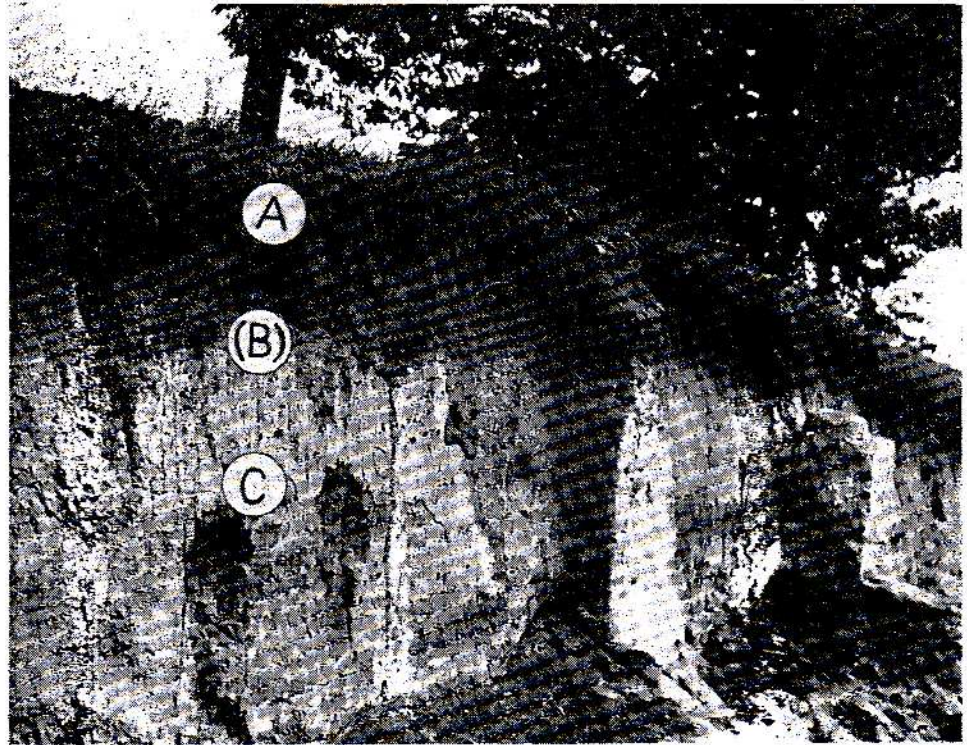
Obr. 108. Balvanitý rozpad čedičových sloupů
Hradištský vrch u Konstantinových Lázní (foto Q. Záruba)



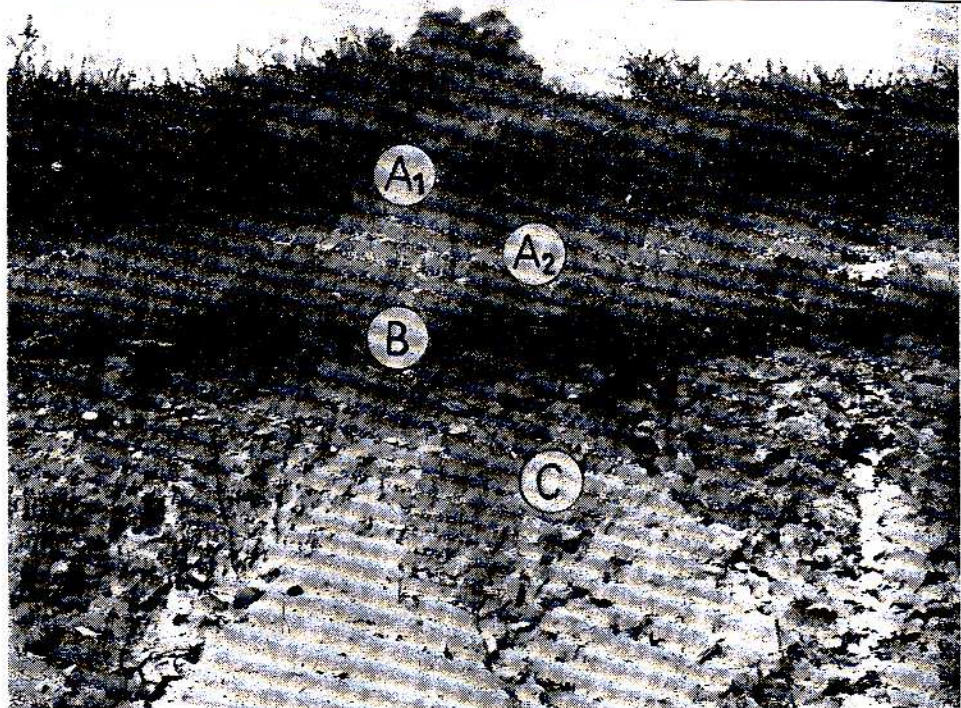
Obr. 109. Schematické znázornění zvětrávání žul podle R. Kettnera.



Obr. 113. Schéma půdních profilů
 1 — černozem na spraši, 2 — hnědozem na čediči, 3 — podzol na pískovci



Obr. 115. Hnědozem na spraši ve Svitávce u Boskovic (foto L. Smolíkova)



Obr. 116. Podzol na glacienních sedimentech u Hamburku (foto L. Smolíkova)



Obr. 110. Hrubě kamenité suli (kamenné moře) na svahu Vysokého Kola v Krkonoších
(foto Q. Záruba)



Obr. 111. Suťové kužele na úpali Koprovského štítu ve Vysokých Tatrách
foto Q. Záruba



Obr. 112. Strukturní půdy na svahu Luční hory v Krkonoších
(foto Q. Záruba)